新源县“2·24”雪崩自然灾害
调查评估报告

新源县“2·24”雪崩自然灾害调查评估组

2026年6月

目录

一、雪崩灾害相关情况.....2
（一）基本情况.....2
（二）灾害发生概况.....3
（三）致灾成灾基本原因.....4
二、灾害应对处置情况.....12
（一）预警信息发布及叫应情况.....12
（二）灾情接报情况.....13
（三）应急处置及人员搜救.....13
（四）善后处置情况.....14
（五）舆情引导情况.....15
（六）救援处置情况评估.....15
三、调查发现的主要问题.....15
（一）风险研判不够精准.....15
（二）监测预警存在短板.....15
（三）隐患管控不够严格.....16
（四）应急能力较为薄弱.....16
四、下一步工作建议.....16
（一）开展全域风险复盘研判.....16
（二）深化隐患排查整治.....16
（三）提升应急处置水平.....16
（四）强化基层宣传引导.....16

2026年2月24日13时许，新源县塔勒德镇卡特巴阿苏山区牧道发生一起雪崩自然灾害，造成1人死亡、1辆挖掘机被雪掩埋和财产损失。

新源县政府第一时间启动自然灾害四级应急响应，成立应急救援指挥部，自治区政府组织应急管理厅、交通厅及气象专家赶赴新源县指导工作，自治州和新源县政府立即派出工作组和专家团队赶赴灾区开展应急救援工作。新源县坚决贯彻落实自治区、自治州决策部署，自治州政府分管领导、新源县委书记坐镇应急救援指挥部，进行远程视频调度指挥，新源县分管领导带领应急、气象、自然资源、公安、消防、卫健等部门成立前方救援指挥部，相关人员迅速赶赴灾害现场，全力组织开展应急救援处置工作。

依据《中华人民共和国突发事件应对法》《自然灾害调查评估暂行办法》《国家突发事件总体应急预案》等法律法规有关规定，新源县人民政府成立新源县“2·24”雪崩自然灾害调查评估组，由应急管理局牵头组织，县公安局、消防救援大队、自然资源局、气象局、总工会和塔勒德镇政府等相关单位配合，依法依规对该起雪崩灾害进行调查评估。

调查评估工作组坚持“科学严谨、依法依规、实事求是、注重实效”的原则，运用高精度卫星影像解译、无人机航测、三维建模、直升机调查等技术手段，通过现场勘察、测绘调查、调阅资料、走访座谈、问询谈话、分析计算、专家论证等方式，对灾害发生过程及应对工作进行全面复盘分析，查明灾害成因、评估灾害损失、剖析存在的不足、总结经验教训，提出防范建议。

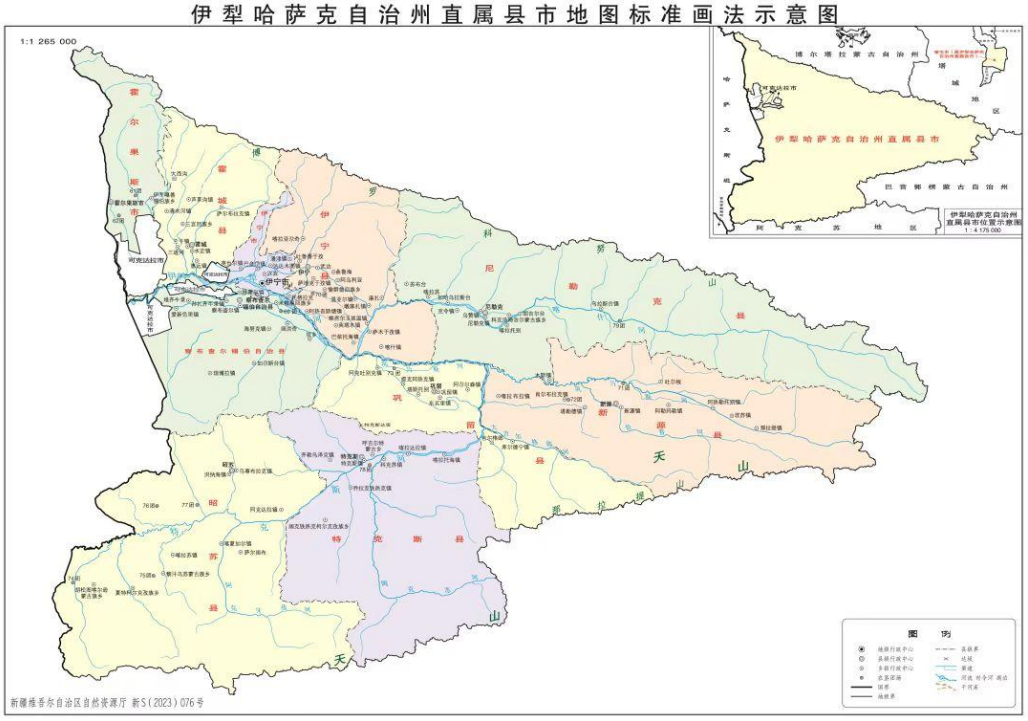
经调查评估认定，新源县“2·24”雪崩自然灾害是一起高陡斜坡受强降雪天气持续影响，积雪量不断累积叠加，导致新旧雪层间形成不稳定界面，雪体瞬间坍落的雪崩自然灾害。

一、雪崩灾害相关情况

（一）基本情况

新源县是新疆伊犁哈萨克自治州直属县，位于天山北麓、伊犁河谷东端，素有“草原明珠·西域江南”之美誉。东接巴音郭楞蒙古自治州和静县，西邻巩留县，北连尼勒克县，南与和静县、巩留县为邻，距伊宁市192公里，距乌鲁木齐市约500-900公里。G217（独库公路）、G218、G578国道及S316省道纵横交错，是连接南北疆的重要交通枢纽。三面环山（天山山脉），西部敞开（伊犁河谷），地形以山地和河谷平原为主，海拔在792米至4621米之间，地势高差悬殊。属北温带大陆性半干旱气候，因伊犁河谷特殊地形，降水较新疆其他地区丰沛，年均降水量约600-800毫米，巩乃斯河、恰甫河等河流穿境而过，水资源丰富。

伊 犁 哈 萨 克 自 治 州 直 属 县 市 地 图 标 准 画 法 示 意 图



（二）灾害发生概况

1.地理位置

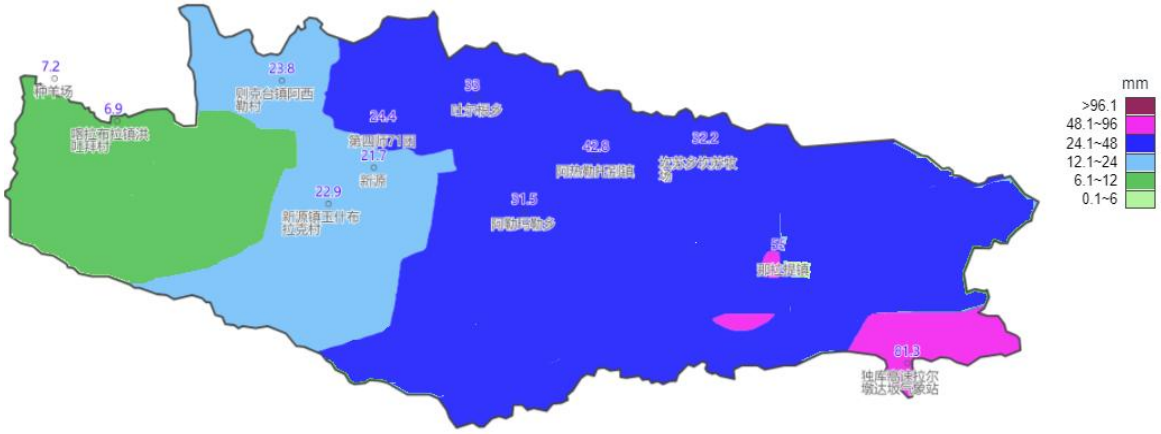
“2·24”雪崩灾害事发地位于新源县塔勒德镇卡特巴阿苏山区牧道。塔勒德镇卡特巴阿苏山区海拔较高，气温偏低，全年积雪期长（自每年9月至次年5月），事发地道路坡度大约43度，路面狭窄，会车困难，雨雪天气对道路通行影响较大，整体交通不便。

2.雪层环境条件

（1）地形条件。雪崩灾害区属冰蚀地貌，原始地形为陡斜坡、缓平台，自上而下形成上陡中缓下陡的坡体结构，最高点位于东侧山顶，高程为3420米，最低点位于西侧沟谷内，高程约为2770米，最大相对高差650米，斜坡整体坡向346°,坡度约26°。地表水体主要为西侧河沟，流向约11.96°,常年流量一般在5-10升每秒左右，降雨期间可达200升每秒以上。地下水类型主要为基岩

裂隙水，受大气降雨补给，沿岩层层面及岩体中的节理裂隙渗流，部分在层面露头及地势低洼处排泄汇入西侧河沟。

（2）积雪情况。2月以来，新源县平均气温1.4℃，较常年同期偏高4.2℃，为1961年以来最高，较2025年同期偏高3.5℃，最高气温13.0℃，最低气温-6.7℃，降水量80.4毫米，比历年同期20.5毫米偏多292.2%，该月有5次降水过程，分别是4日0.7毫米、8日6.8毫米、13-15日12.9毫米、20-22日14.2毫米、24-28日45.8毫米。



3.灾害发生经过。2026年2月22-23日，新源县辖区连续降雪，山区降雪量较大。该区域道路清雪班组接到气象预警后，安排沿途清障保畅的人员、机械往相对安全的地方转移。2月24日12时28分许，班组负责人张某电话通知挖掘机驾驶员阿某转移到松树头，阿某接到电话指令后，立即驾驶挖掘机从卡特巴阿苏山区白沟牧道三号板房出发前往松树头，未开展任何机械作业活动。2月24日13时许，行进至白沟牧道二号监护点路段时突发雪崩，致使该挖掘机及驾驶员被积雪掩埋，驾驶员阿某失联。

4.灾害损失情况。根据《新源县“2·24”雪崩灾害灾情损失评估报告》（以下简称《评估报告》），此次雪崩灾害造成1

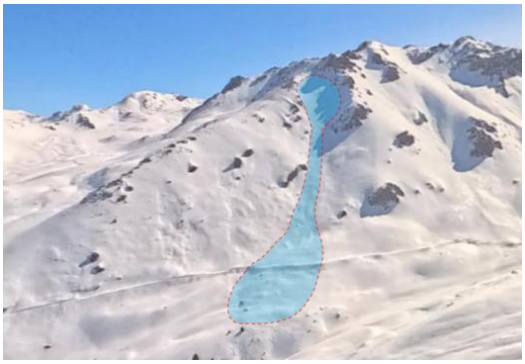
人死亡，1辆挖掘机损坏，1公里牧道受损，直接经济损失265万元。遇难人员信息如下：阿某，男，哈萨克族，现年35岁，身份证号：654125*******1858，家庭住址：新疆新源县阿热勒托别镇玉什开普台尔村。

（三）致灾成灾基本原因

1.现场情况分析

本处雪崩为典型沟槽型雪崩，位于公路上行线右侧山体阴坡，受地形沟槽导向作用显著，运动路径清晰明确。根据现场调查与里程桩号标定，雪崩影响范围涵盖K80+900至K81+180段，影响纵向长度达280m；雪崩形成区坡面坡度为43°，该坡度区间既满足雪崩启动的临界力学条件，又具备良好的雪体蓄积与势能转化条件。该路段地处雪崩核心重点堆积区，山体阴坡的朝向特征结合沟槽地形构成了优越的坡面汇雪条件，高位区降雪及坡面失稳雪体易沿沟槽向下输运并在此处持续汇聚、沉积，具备显著的雪体堆积风险。

现场勘查显示，该雪崩由单一主沟槽发育形成，沟槽形态完整且输运路径顺畅；沿线坡面可见不稳定雪层已发生区域性崩塌滑移，雪体运动冲刷痕迹清晰，下游堆积区雪体覆盖范围广、汇雪面积较大，堆积形态充分体现了雪崩的强输运与堆积能力。该路段道路被雪崩雪体完全覆盖，堆积雪体厚度极大，现场作业机械（挖掘机）被雪流冲至沟槽底部，仅悬臂部分外露。结合沟槽坡度及大规模汇雪堆积条件综合判定，此处雪崩规模等级为大型，对该段区域交通通行安全、沿线设施及人员生命安全构成严重威胁。



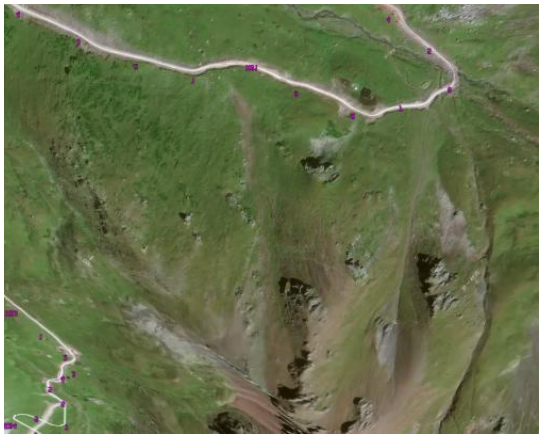


2.影响因素分析

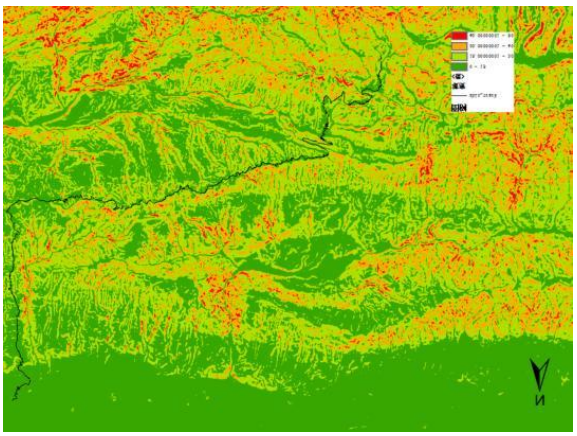
（1）地形影响。地形作为雪崩发育的核心空间载体，其坡度、坡向及沟谷地貌的组合特征，为雪体堆积、势能积累提供了基础环境。坡度是决定坡面积雪稳定性的核心地形参数，直接影响雪体重力分力的分配与抗剪平衡状态，雪体沿坡面的下滑分力随坡度增大而显著提升，抗滑分力则随之减弱，当坡度达到临界区间时，积雪极易在外部扰动下失稳滑动。通过构建区域高精度三维地形模型，结合ArcGIS空间分析技术，精准提取雪崩形成区、运动区及堆积区的关键地形参数，结果表明，该区域坡面坡度集中分布在30°-40°之间，处于雪崩易发生的临界坡度范围，为雪体势能积累与快速启动提供了有利的地形力学条件。

此外，该雪崩点形成区坡度为43°，陡峭的地形使雪体能够快速积累大量重力势能，启动后可沿坡面快速加速；而运动区至堆积区坡度逐步放缓至33°，既保证了雪体能够持续向下运动，又为雪体的集中堆积提供了空间，进一步放大了雪崩对下游公路的掩埋与冲击效应。同时，坡度的空间差异还会导致雪体分布不均，在陡坡与缓坡交界处形成雪体堆积盲区与应力集中区，进一步弱化积雪稳定性，与强降雪协同作用，最终加剧了雪崩的致灾强度。

项目区域地形图



项目区域坡度图



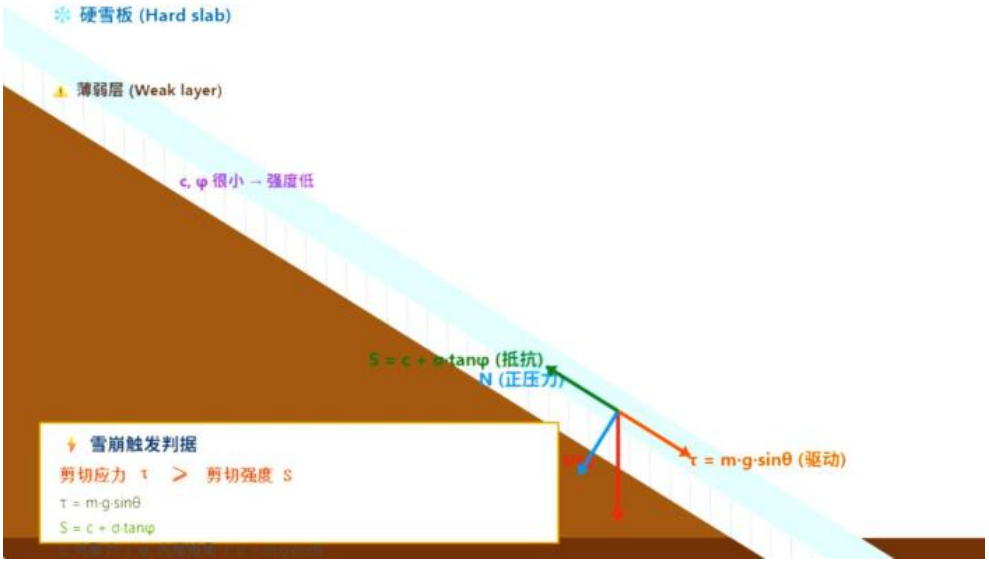
（2）降雪影响。降雪为雪崩提供了物质来源，高强度、持续性降雪会显著改变雪层应力状态，快速突破坡面积雪的自稳极限。基于新源县气象局提供的观测数据，2026年2月24日—28日，新源县累计降水量达45.8mm，较常年同期偏多8.5倍(常年值4.8mm,2025年6.5mm，2024年1.7mm）。为1961年以来历史同期极值，较2025年同期偏多6倍；其中2月27日单日降水量19.9mm，位列1961年2月单日降水量第2位，单日降雪峰值达14.9mm，达到暴雪级别，在短时间内使坡面雪层厚度迅速抬升至1.4m，雪体自重荷载大幅增加。

持续快速的积雪堆积，导致坡面剪切应力不断累积，显著超出积雪天然稳定临界值。受连续高强度降雪影响，新雪颗粒未完成充分沉降、压实及固相重结晶过程，整体表现为高孔隙度、低内聚力、低密度的松散结构特征。新雪层与下伏致密旧雪层存在显著物理力学性质差异，层间界面黏结强度极低，形成天然软弱结构面。该上松下密的垂向分层结构显著降低了雪层整体抗剪强度，在外部扰动作用下极易沿层间发生剪切失稳，为雪崩启动提供了关键力学条件。

通过对区域进行积雪特性实验，测得软弱层平均积雪密度为186kg/m^{3}处于新雪与陈雪的过渡密度区间。新雪密度通常为50至150kg/m^3，陈雪密度多大于200kg/m^3，实验所得的积雪密度表明该区域积雪以近期新增降雪为主，雪层内部颗粒间结合力较弱，抗剪强度较低。本次降雪本次极端降雪过程中，新降积雪因沉降时间短、固结程度低，呈现出低密度、高孔隙的特点，其内部颗粒松散，内聚力较弱，难以形成有效的力学联结。而随着强降雪的持续，新增积雪与原有积雪之间因固结时间不足，形成了明显的层间界面，新旧雪层之间缺乏有效的力学咬合，无法形成整体受力体系，进而导致雪层整体抗剪强度下降，成为雪崩发生的潜在隐患。

日期	2月22日	2月23日	2月24日	2月25日	2月26日	2月27日	2月28日
降雪量/mm	3.62	13.86	14.9	4.13	29.01	21.48	15.89

通过计算在该处雪崩点，形成区坡度43°，雪层下滑力τ经过计算为1492Pa，薄弱层剪切强度S经过计算为922Pa，此时当剪切应力τ大于剪切强度S，薄弱层破坏，雪崩达到触发条件。



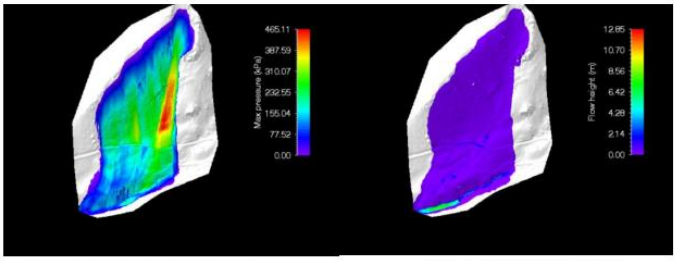
（3）大风影响。大风是触发坡面积雪失稳的重要动力因素，不仅通过风力直接扰动雪层结构，还通过吹雪搬运、风压加载等多重机制破坏雪层稳定，与强降雪共同构成本次雪崩的复合触发条件。2月24日—25日，区域出现持续性大风天气，风速达10.8～17.2m/s，风力等级达8级，主导风向为南风，已显著超过自然坡面雪粒起动临界风速，形成具备强烈的风吹雪。受山体微地形影响，坡面凸起部位形成明显绕流与涡旋区，大量风输运雪粒在背风侧及沟槽上部持续沉降堆积，造成雪崩形成区雪深局部异常增大，形成不对称、高荷载的积雪分布形态，进一步加剧了坡面应力集中。

在动力作用方面，持续大风一方面通过脉动风压直接作用于雪层表面，产生反复扰动，破坏雪层内部颗粒联结，促使已有裂隙扩展贯通；另一方面，风力压实作用使表层雪体快速致密化，形成刚度较大、整体性较强的风板雪壳，而下伏雪层仍保持松散多孔状态，形成典型的“上硬下软”的不利结构，层间抗剪能力极弱，引发雪层整体剪切破坏，形成板状滑动并沿沟槽快速加速运动，最终发展为破坏力极强的大型雪崩，对下游公路及设施造成严重冲击与掩埋。

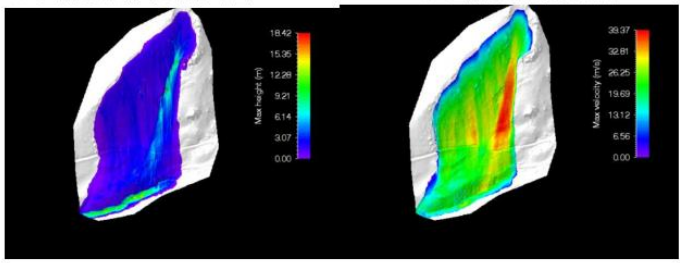
3.灾害综合分析

本次选取矿区道路K80-K82清雪作业人员被埋路段雪崩点进行了雪崩动力学模拟分析及现场情况分析工作。

本次采用RAMMS软件模拟雪崩点的雪崩运动过程，模拟结果如下图所示。整个雪崩运动过程中雪崩最大速度为39m/s，最大流动高度18m，最大压力：465kPa，雪崩方量为78351.2m³。



a）雪崩运动最大压力分布图　　b）雪崩运动高度分布图



c）雪崩运动最大高度分布图　　d）雪崩运动最大速度分布图

图a)为雪崩点运动最大压力分布云图，结合压力分布特征与道路工况，道路被埋风险主要由雪崩强冲击势能释放、运动路径集中及地形约束效应共同导致。雪崩自上部形成区启动后，沿单一主沟槽形成极显著的高压力集中条带，压力值跨度大，核心冲击区峰值高达465.11kPa，中高压力区贯穿流道中部，体现出雪崩雪体在该阶段的强动力冲击特征，与下游道路所在区域形成直接的势能传递通道，表明雪崩运动路径稳定且具有极强的指向性；雪崩高压核心沿流道向下游持续传导，道路附近压力值仍维持在232.55kPa的中高区间，道路位于雪崩流道末端的关键影响范围，该区域为雪崩雪体的核心汇聚地带，雪崩启动阶段积累的巨大势能远高于常规雪崩冲击强度，即便经过流道耗散，仍足以形成高厚度、强冲击力的雪堆，直接覆盖道路并对道路上车辆构成严重破坏。

图b）为雪崩点运动过程中雪崩运动高度分布云图，图c)为雪崩点运动过程中最大雪流高度分布云图，数值范围0.00-18.42m。雪崩自上部形成区启动后，沿单一主沟槽向下游剧烈运

动，形成了与地形走向高度契合的高雪流高度条带，精准勾勒出稳定的主流通道。雪崩在形成区厚度大、流体惯性强；随着雪体向下游运动，在地形摩擦与能量耗散作用下，雪流高度逐步衰减。道路位于雪崩流道末端的关键影响范围，该区域雪流高度稳定在4.2m区间，与雪崩点9的冲击高度基本吻合，表明大量雪体在运动终点形成集中堆积，直接覆盖道路断面，构成严重的掩埋风险。结合雪流高度分布可知，雪崩在运动过程中流体形态稳定，未出现明显的侧向扩散或能量衰减中断，最终以高厚度的雪流冲击并掩埋道路，对道路通行安全构成直接威胁。

图d）为雪崩点9运动过程中最大速度分布云图，数值范围0.00-39.37m/s。雪崩自上部形成区启动后，受地形沟槽约束形成集中的高速核心流道；形成区及中部流道为速度核心高值区，局部峰值可达39.37m/s，雪体在此阶段高速推进、流体特性更为显著。随着雪体向下游运动，速度呈梯度衰减，由中部高值区逐步过渡为中低速区，至底部堆积区时速度进一步降低；道路位于雪崩流道末端的关键影响范围，虽对应速度已有所衰减，但仍处于雪崩运动的直接作用范围，雪体在强惯性推动下以较高动能抵达并冲击道路，结合此前最大高度、最大压力的分布特征，高速惯性驱动下的雪体堆积与冲击成为道路被掩埋、结构受损的核心动力因素。整体来看，雪崩形成区的集中释放、沿程稳定的高效传输通道，以及末端持续的惯性冲击特征，共同构成了本次雪崩更具破坏性的运动学基础。

本次新源县“2.24”雪崩灾害为典型自然雪崩灾害，核心诱因是强冷空气引发的极端强降雪与持续大风耦合作用，叠加区域

特殊地形条件及积雪不良物理力学特性，导致高陡斜坡积雪失稳下滑形成。

本次雪崩致灾因素呈现明显的“多因子协同作用”特征，极端强降雪为灾害提供了充足物质基础，形成“上部松散、下部密实”的不稳定雪层结构；持续8级大风通过动力扰动、吹雪堆积等作用触发雪层失稳，加剧应力集中；区域形成区坡度43°，处于雪崩易发生临界坡度范围，为雪体势能积累与快速运动提供了有利地形条件；积雪低密度、低内聚力、层间黏结力弱的物理力学特性，进一步降低了雪层整体稳定性，四者共同完成“物质补给—结构劣化—动力触发—空间承载”的致灾链条。

本次雪崩高风险区域K80-K82段，该路段位于雪崩运动区，地处山体阴坡沟槽地形，汇雪条件优越，坡度契合雪崩启动与堆积要求，且雪崩运动路径稳定、指向性强，雪体冲击与堆积效应显著，是本次灾害中受损最严重的区域，后续仍存在再次发生雪崩的风险。

综上所述，事发地及周边的地形、降雪和大风等多种因素影响是雪崩诱发灾害的主要原因。

二、灾害应对处置情况

（一）预警信息发布及叫应情况。2月20日13：10通过内网发《气象灾害预警》雨夹雪天气预警提示；2月20日18时转发新源县气象台发布的春运气象服务信息；2月20日18时44分转发新源县气象台发布的大风蓝色预警信号；2月21日18时转发新源县气象台发布的春运气象服务信息；2月23日13时15分新源县气象台发布暴雪黄色预警信号：预计23日夜间至24日白

天，新源县南部山区及东北部区域将出现12.1毫米以上的暴雪；2月23日18时新源县气象台发布春运气象服务信息：预计23日夜间，新源县大部有小到中量的雨转雪天气，山区局地暴雪。2月24日18时新源县气象台发布重要气象服务信息：预计24日夜间至25日夜间，新源大部多云间晴，偏南山区局地有微到小雪。2月25日11时通过内网发了《气象灾害预警》降雪天气预警提示；2月25日13时新源县气象台发布天气实况信息。收到预警信息后，县应急指挥中心分别于2月23日10时10分、18时40分、22时20分对各乡镇防范措施落实情况进行调度，开展预警“叫应”工作，各乡镇及相关部门按要求做好安全防范和应急处置工作。

（二）灾情接报情况。2026年2月24日13时许，新源县塔勒德镇卡特巴阿苏山区牧道发生一起雪崩自然灾害，造成1人死亡、1辆挖掘机被雪掩埋和财产损失。2月24日14时许，新源县应急指挥中心接到灾情报告，接报后立即报告新源县委、县政府。14时30分许，新源县委、县政府分别报州党委、州政府，县应急指挥中心同步报州应急指挥中心。州、县两级联动，迅速响应，第一时间启动应急响应，科学高效调集各类救援力量和应急资源投入抢险救援，切实保障人民群众生命财产安全，有序推进各项救援处置工作。立即成立由应急管理、自然资源、公安、消防、卫健组成的县应急救援指挥部，由州政府分管领导、州应急管理局主要负责同志统筹指导救援工作，明确职责分工、压实工作责任，统一领导、统筹协调现场救援、隐患排查、家属安抚、舆情管控等各项工作。

（三）应急处置与人员搜救。伊犁州相关领导第一时间赶赴

新源县，对救援工作提出明确要求，强调现场救援力量要听从统一指挥、分工协作，坚决杜绝各自为战，确保救援工作有序高效推进。新源县政府启动自然灾害四级应急响应，新源县委主要领导坐镇县应急救援指挥中心，进行远程视频调度指挥，统筹应急救援各项工作。**一是科学调度救援力量。**县应急救援指挥部第一时间协调调动应急、消防、卫健、公安、自然资源及相关社会力量共40人，就近调集6台大型救援机械赶赴事发现场，其中第一批救援力量22人和5台装载机、1台挖掘机于当日13:40左右抵达，第二批救援力量18人携带生命探测仪等救援装备于18:20许抵达，迅速投入救援作业，形成上下联动、左右协同的救援合力。**二是精准实施搜救行动。**坚持科学救援、安全第一，在确保不发生二次灾害、不新增人员伤亡的前提下，全力开展失联人员搜救工作。救援人员采用生命探测仪、探测杆等装备，在雪崩冲击区域的范围内开展地毯式搜救。**三是全力实施救援保障。**建立顺畅的联络沟通机制，县应急救援指挥部与现场前方指挥部救援力量保持实时联动，及时准确报送现场救援情况，同步做好后勤保障、医疗接应等工作，切实解决救援人员的后顾之忧，确保救援工作高效顺畅推进。**四是严密防范次生灾害。**以此次灾害事件为警示，新源县委于2月24日晚召开安全生产专题会议，部署开展山区人员活动管控及道路通行安全隐患专项排查行动，重点排查卡特巴阿苏山区等偏远山区牧道道路的雪崩、滑坡、结冰等灾害隐患，对排查出的隐患点设置警示标识、划定警戒区域，明确专人值守。同时，加强极端天气预报预警，督促辖区施工单位、矿业企业强化安全管理，加强作业人员安全培训，提升安全防范意识和应急自救能力，严禁在极端天气、高风险区域开展作

业，切实防范各类次生灾害和安全事故发生。截至5月9日，失联人员找到后新源县自然灾害四级应急响应终止。**五是安全找回失联人员。**因雪崩灾害发生地积雪较厚，雪崩区处于不稳定状态，风险极大，无法实施现场救援工作。应急救援指挥部不定期在天晴适合飞行条件下，安排直升飞机空中勘察道路13架次，取回实时影像资料进行会商研判，因今年天气异常，事发地800米雪崩区融雪缓慢，雪层较厚风险持续，清雪疏通道路无法冒险开展，灾害区域雪崩持续无法有效实施救援。至5月7日，经新源县2·24雪崩自然灾害应急救援指挥部再次安排直升飞机实地勘查后研判，认为道路和雪崩区雪层已经融化，具备道路清雪作业、人员搜救等救援条件，立即组织救援队伍开展事发地800米雪崩区道路积雪清理工作，并于当日打通县城至雪崩发生点的道路。救援队到达现场后立即开展失联人员搜寻工作，至5月8日，找到失联人员。

（四）善后处置情况。新源县应急指挥部组织由县委领导牵头的善后安抚工作组，详细摸排失联驾驶员家属及家庭情况，县乡社区安排专人第一时间与家属取得联系，及时通报灾害情况及救援进展，耐心做好家属情绪安抚工作，切实保障家属合法权益，传递党委、政府的关怀与温暖。5月8日，找到失联人员后，县领导、属地乡镇及相关部门积极协助家属做好丧葬事宜，妥善开展后续相关工作。5月9日，死者阿某顺利安葬，家属情绪平稳。

（五）舆情引导情况。县网信、网安、应急等部门紧密联动，聚焦抢险救援一线、隐患排查现场和家属安抚工作，持续、主动发布灾情信息和救援进展，及时回应群众关切。建立健全

“信息收集、审核发布、舆情监测、联动处置”闭环机制，密切关注网上网下涉灾舆情动态，规范舆情处置流程，引导主流媒体客观、准确报道救援全过程，营造了平稳有序、积极正向的舆论氛围。

（六）救援处置情况评估。经调查评估，此次雪崩灾害救援行动，在区、州、县的高度重视和有力指导下，县乡两级党委政府反应迅速、指挥有力，救援力量响应及时、部署科学，处置策略精准有效，资源配置较为充分，风险管控全面到位，实现了应急处置全过程“无次生灾害、无衍生事故、无疫情发生、无救援人员伤亡”的目标，最大程度减轻了灾害损失。

三、调查发现的主要问题

（一）风险研判不够精准。对县域高山陡坡、峡谷迎风面等雪崩易发区域的孕灾机理掌握不透彻，对降雪冻融、地形条件等人为叠加致灾因素研判不足，隐蔽性风险排查存在盲区。

（二）监测预警存在短板。偏远山区雪崩监测点位不足，动态感知、精准预判能力较弱，预警信息靶向推送、落地叫应不够及时。

（三）基层防灾减灾能力薄弱。县级层面，雪崩专项监测预警能力不足，后山偏远牧区、沟谷牧道缺少雪深、积雪结构自动化监测设备，预警信息向山区点对点传递渠道有限；应急救援处置存在短板，针对高海拔雪崩灾害的专业救援力量薄弱，极端天气下山区通信中断时现场指挥调度效率不高；救援装备设备缺口明显，雪崩搜救探测、高海拔无人机、山地抢险等专业装备储备不足，现有装备难以满足复杂雪地搜救作业需求。乡镇对辖区内

分散隐蔽的雪崩隐患点日常排查精细化程度不高，隐患管控不够严格，降雪、融雪关键时段山区人员活动管控不严，群众侥幸心理突出，违规进山现象时有发生。

（四）应急储备较为薄弱。缺少雪崩专项预案，山地特种装备不足，复杂地形救援设施缺乏，卫星通信设施较少，应急救援实战能力欠缺。

（五）工作安排不合理。根据事发前气象预报，灾害地点可能会发生雪崩灾害，班组负责人仍电话通知遇难者单人单车通过危险区，未采取防范措施，导致灾害发生。

四、下一步工作建议

针对本次雪崩暴露的短板，结合新源县防控实际，细化下一步重点工作。

（一）开展全域风险复盘研判。全面复盘本次灾害成因及处置过程，摸清县域雪崩高风险坡面、峡谷道路等重点区域风险底数，建立动态隐患台账，实行清单化管理。

（二）深化隐患排查整治。督促冬季有通行山区的乡镇采取无人机巡查、人工核查相结合方式，常态化开展雪崩隐患排查，落实“一点一策”闭环整改，严控关键时段山区人员、作业、通行活动。

（三）提升应急处置水平。结合本次雪崩灾害事件的教训和救援经验修订雪崩专项应急预案，健全多部门联动机制，补齐搜救、通信、防寒等应急装备物资，前置重点区域物资储备。同时补齐专业装备及实操能力短板，依托县安全生产专项经费预算，

今年年底前完成组织4名应急干部参加CAAC民用无人驾驶航空器操控员专项培训，提升工作人员无人机实操专业水平。

（四）强化基层宣传引导。通过线上线下结合方式，依托典型案例开展警示教育，深入牧区、村落开展入户宣讲和应急演练，常态化开展进山风险劝导，提升群众防灾避险能力。

（五）强化应急教育培训。组织应急管理人员、危险区域指挥、作业人员、应急救援人员等开展灾害防范、应急自救互救、抢险救援等知识培训，提升防灾救灾能力水平。